

# 有限差分法

## 案例 2：均匀直棒热传导问题

舒适 魏华祎 易年余 岳孝强

1

## 均匀直棒热传导问题

- 背景问题与数学建模
- 有限差分方法
- 算法设计与实现
- 数值实验
- 理论分析

设一根长为  $l$  的均匀直棒，水平放置，试建立热流穿过直棒的数学模型。

为了叙述的方便，将  $x$  轴(即横轴)的正向取为水平方向向右，直棒的左端点为原点，直棒的右端点为  $l$ ，如下图所示。



下面设温度函数  $u$  仅与时间变量  $t$  和空间变量  $x$  有关，即  $u = u(x, t)$ 。

下面基于如下两个基本原理来建立数学模型.

- ① Fourier 定律: 单位时间内通过单位截面的热能 (量) 为

$$k(x)\partial u/\partial x$$

其中  $k(x)$  称为热传导系数。

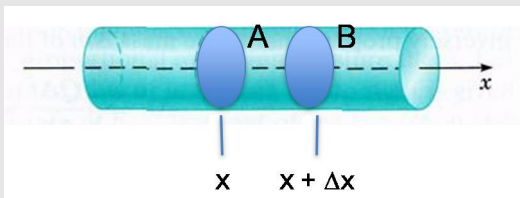
- ② 比热容定律: 在时间  $\Delta t$  内将质量为  $m$  的物体温度升高  $\Delta u$  所吸收的热能为

$$cm\Delta u$$

其中  $c$  为质量为  $m$  的物体材料的代表比热容.

采用微元法进行分析，考虑微元

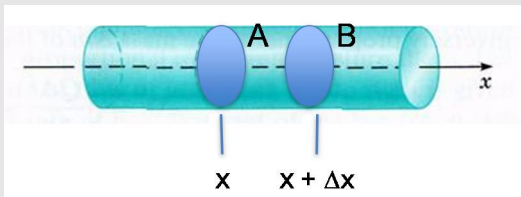
$$[x, x + \Delta x] \times [t, t + \Delta t]$$



不妨设微元中各点处的截面积  $s(x) \equiv 1$ ,  $x \in [x, x + \Delta x]$ .

由 Fourier 定律: 在时间  $\Delta t$  内, 区间  $[x, x + \Delta x]$  中热能的变化 (增量) 为

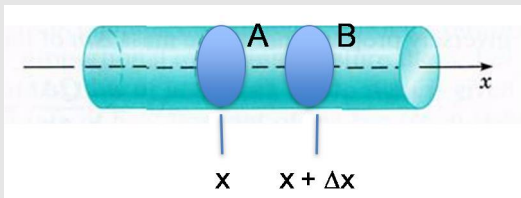
$$\left[ k(x + \Delta x) \frac{\partial u}{\partial x}(x + \Delta x, t) - k(x) \frac{\partial u}{\partial x}(x, t) \right] \Delta t \quad (1)$$



另外, 由比热容定律知: 在时间  $\Delta t$  内, 区间  $[x, x + \Delta x]$  中热能变化 (增量) 为:

$$c \cdot m \cdot \Delta u = c(x) \cdot (\rho(x)\Delta x) \cdot \Delta u \quad (2)$$

其中  $\rho(x)$  为直棒的线密度。



利用 (1) 和 (2), 由热能守恒定律, 有

$$c(x) \cdot (\rho(x)\Delta x) \cdot \Delta u = [k(x + \Delta x) \frac{\partial u}{\partial x}(x + \Delta x, t) - k(x) \frac{\partial u}{\partial x}(x, t)] \Delta t$$

$\Rightarrow$

$$\frac{c(x) \cdot \rho(x) \cdot \Delta u}{\Delta t} = \frac{1}{\Delta x} [k(x + \Delta x) \frac{\partial u}{\partial x}(x + \Delta x, t) - k(x) \frac{\partial u}{\partial x}(x, t)]$$

取极限  $\Delta t, \Delta x \rightarrow 0$ , 可得:

$$c(x)\rho(x)\frac{\partial u}{\partial t}(x, t) = \frac{\partial}{\partial x}(k(x)\frac{\partial u}{\partial x}(x, t))$$



如果  $k, c, \rho$  均为常数, 则上述方程可写为:

$$\frac{\partial u}{\partial t} = a \frac{\partial^2 u}{\partial x^2},$$

其中  $a = \frac{k}{c \cdot \rho}$ .

为了保证适定性, 还需给出适当的初始时刻的温度分布  $u(x, 0)$  以及边界条件  $u(0, t)$  和  $u(l, t)$

一维热传导方程:

$$\begin{aligned}\frac{\partial u}{\partial t} &= a \frac{\partial^2 u}{\partial x^2}, \quad 0 < x < l, \quad t > 0, \\ u(0, t) &= g_0(t), \quad t > 0, \\ u(l, t) &= g_1(t), \quad t > 0, \\ u(x, 0) &= u_0(x), \quad 0 < x < l.\end{aligned}\tag{3}$$

若直棒内部还有热源 $f(x)$ , 则方程为:

$$\begin{aligned}\frac{\partial u}{\partial t} &= a \frac{\partial^2 u}{\partial x^2} + f(x), \quad 0 < x < l, \quad t > 0, \\ u(0, t) &= g_0(t), \quad t > 0, \\ u(l, t) &= g_1(t), \quad t > 0, \\ u(x, 0) &= u_0(x), \quad 0 < x < l.\end{aligned}\tag{4}$$

下面, 针对如下一维热传导方程**初边值问题**(抛物方程)

$$\begin{cases} \frac{\partial u}{\partial t} = a \frac{\partial^2 u}{\partial x^2} + f(x), & (x, t) \in G, \\ u(x, 0) = \phi(x), & 0 < x < l, \\ u(0, t) = u(l, t) = 0, & 0 \leq t \leq T, \end{cases} \quad (5)$$

在均匀网格剖分下, 介绍有限差分法。

## 回顾有限差分法的步骤：

- 1 网格剖分
- 2 导数的差分离散
- 3 初边值条件处理

## 网格剖分

取空间步长和时间步长为  $h = \frac{l}{N}$ ,  $\tau = \frac{T}{M}$

分别对空间变量  $x$  所属的区间  $[0, l]$  和时间变量  $t$  所属的区间  $[0, T]$  做如下均匀剖分:

$$0 = x_0 < x_1 < \cdots < x_N = l, \quad 0 = t_0 < t_1 < \cdots < t_M = T$$

其中  $x_i = ih$ ,  $t_k = k\tau$ .

用两族平行直线  $x = x_j$  ( $0, 1, \cdots, N$ ) 和  $t = t_k$  ( $k = 0, 1, \cdots, M$ ) 将矩形域  $\bar{G}$  分割成矩形网格, 网格节点集合为

$$\bar{G}_h = G_h \cup \Gamma_h = \{(x_j, t_k) : 0 \leq j \leq N; 0 \leq k \leq M\}$$

其中

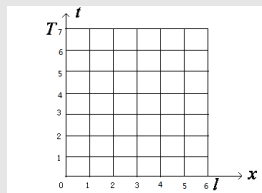
$$G_h = \{(x_j, t_k) : 0 < j < N; 0 < k \leq M\}$$

为网格内节点集合.

$$\Gamma_h = \{(x_j, t_k) : j = 0, N; k = 1, \dots, M\} \cup \{(x_j, t_0) : j = 0, \dots, N\}$$

为网格边界节点集合.

下图为当  $N = 6$  和  $M = 7$  时 (它们分别是沿  $x$  和  $t$  方向的剖分段数) 的矩形网格剖分图.



## 导数的差分离散与初边值条件处理

用  $u_j^k$  表示差分解在网格节点  $(x_j, t_k)$  处的分量, 下面采用逐层计算的思想建立差分方程 (格式).

设从第 0 个时间层到第  $k \geq 0$  个时间层的差分解分量

$$u_j^i, \quad i = 0, \dots, k; \quad j = 0, \dots, N$$

已经求得.

## 导数的差分离散与初边值条件处理

下面建立第  $k+1$  个时间层(简称当前层)上的差分方程 (格式)

$m \geq 2$  层差分格式: 若格式中仅涉及当前层以及第  $k+1-l$  个时间层的差分解分量

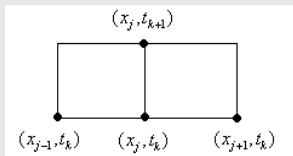
$$u_j^l, \quad j = 0, \dots, N; \quad l = 1, \dots, m-1$$

下面首先介绍三种常用的二层格式.



## (一) 向前差分格式

考虑当前层上的任意内节点  $(x_j, t_{k+1})$ , 规定其差分格式涉及的模板点为



对  $(x_j, t_k)$  处的微分方程

$$\frac{\partial u}{\partial t}|_{(x_j, t_k)} = a \frac{\partial^2 u}{\partial x^2}|_{(x_j, t_k)} + f(x_j) \quad (6)$$

通常有两种近似方法.

## 方法一. 差商逼近导数 (直接差分方法)

对 (6) 中的导数用差商近似:

$$\frac{\partial u(x_j, t_k)}{\partial t} \approx \frac{u(x_j, t_{k+1}) - u(x_j, t_k)}{\tau} \quad (\text{向前差商}) \quad (7)$$

$$\frac{\partial^2 u(x_j, t_k)}{\partial x^2} \approx \frac{u(x_{j+1}, t_k) - 2u(x_j, t_k) + u(x_{j-1}, t_k))}{h^2} \quad (\text{二阶中心差商}) \quad (8)$$

## 方法二. 待定系数 + Taylor 展开

$$\begin{aligned}\frac{\partial u}{\partial t}|_{(x_j, t_k)} - a \frac{\partial^2 u(x_j, t_k)}{\partial x^2} &\approx \alpha_{j, k+1} u(x_j, t_{k+1}) + \alpha_{j, k} u(x_j, t_k) \\ &\quad + \alpha_{j-1, k} u(x_{j-1}, t_k) + \alpha_{j+1, k} u(x_{j+1}, t_k)\end{aligned}$$

要求截断误差的阶尽可能高.

利用二元函数的 Taylor 展开

.....

可得近似公式 (7) + (8).

记  $f_j = f(x_j)$ , 将 (7) 和 (8) 代入 (6), 则有关于  $(x_j, t_{k+1})$  的向前差分格式,

$$\frac{u_j^{k+1} - u_j^k}{\tau} = a \frac{u_{j+1}^k - 2u_j^k + u_{j-1}^k}{h^2} + f_j \quad (9)$$

在 (9) 两边同乘  $\tau$ , 整理可得

$$u_j^{k+1} = ru_{j-1}^k + (1 - 2r)u_j^k + ru_{j+1}^k + \tau f_j \quad (10)$$

其中,  $r = a\frac{\tau}{h^2}$  称为网格比 (简称网比).

利用(10), 并对初边值条件进行处理, 有

$$\begin{cases} u_j^{k+1} = ru_{j-1}^k + (1 - 2r)u_j^k + ru_{j+1}^k + \tau f_j, & j = 1, \dots, N-1; \quad k = 0, \dots, M-1 \\ u_j^0 = u(x_j, 0) = \phi(x_j), & j = 1, \dots, N-1 \\ u_0^k = u(0, t_k) = 0, \quad u_N^k = u(l, t_k) = 0, & k = 0, 1, \dots, M \end{cases} \quad (11)$$

令  $N-1$  维 (第  $k$  个网格层) 差分解向量和右端向量

$$U^k = (u_1^k, u_2^k, \dots, u_{N-1}^k)^T, \quad F = (f_1 + ru_0^k, f_2, \dots, f_{N-1} + ru_N^k)^T$$

则向前差分格式 (10) 的矩阵表示为:

$$U^{k+1} = A_0 U^k + \tau F \quad (12)$$

其中

$$A_0 = \begin{bmatrix} 1-2r & r & & & \\ r & 1-2r & r & & \\ & \ddots & \ddots & \ddots & \\ & & r & 1-2r & r \\ & & & r & 1-2r \end{bmatrix}_{(N-1) \times (N-1)}$$

由此可见：

① 利用 (11) 可逐层求出差分分量

在 (11) 中, 取  $k = 0$ , 利用初值  $u_j^0 = \phi(x_j)$  ( $j = 1, \dots, N-1$ ) 和边值  $u_0^0 = u_N^0 = 0$ , 可算出第一层的  $u_j^1$  ( $j = 1, \dots, N-1$ );

在 (11) 中, 取  $k = 1$ , 利用  $u_j^1$  ( $j = 1, \dots, N-1$ ) 和边值  $u_0^1 = u_N^1 = 0$ , 可算出第二层的  $u_j^2$  ( $j = 1, \dots, N-1$ );

.....

② 向前差分格式 (11) 是一种显格式, 即为了求出差分解, 无需求解线性代数方程组.

引入向前差分算子  $L_h^{(1)}$ , 它满足

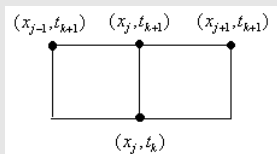
$$L_h^{(1)} u_j^k = \frac{u_j^{k+1} - u_j^k}{\tau} - a \frac{u_{j+1}^k - 2u_j^k + u_{j-1}^k}{h^2}.$$

可以证明向前差分格式 (9) 的截断误差为

$$R_j^k(u) = O(\tau + h^2).$$

## (二) 向后差分格式

模板点为



对  $(x_j, t_{k+1})$  处的微分方程

$$\frac{\partial u}{\partial t} \Big|_{(x_j, t_{k+1})} = a \frac{\partial^2 u}{\partial x^2} \Big|_{(x_j, t_{k+1})} + f(x_j) \quad (13)$$

采用直接差分方法进行近似.



对 (13) 中的偏导数用差商近似:

$$\frac{\partial u(x_j, t_{k+1})}{\partial t} \approx \frac{u(x_j, t_{k+1}) - u(x_j, t_k)}{\tau} \quad (\text{向后差商}) \quad (14)$$

$$\frac{\partial^2 u(x_j, t_{k+1})}{\partial x^2} \approx \frac{u(x_{j+1}, t_{k+1}) - 2u(x_j, t_{k+1}) + u(x_{j-1}, t_{k+1}))}{h^2} \quad (\text{二阶中心差商}) \quad (15)$$

将 (14) 和 (15) 代入 (13), 则有关于  $(x_j, t_{k+1})$  的向后差分格式,

$$\frac{u_j^{k+1} - u_j^k}{\tau} = a \frac{u_{j+1}^{k+1} - 2u_j^{k+1} + u_{j-1}^{k+1}}{h^2} + f_j \quad (16)$$

在 (16) 两边同乘  $\tau$ , 整理可得

$$-ru_{j-1}^{k+1} + (1 + 2r)u_j^{k+1} - ru_{j+1}^{k+1} = u_j^k + \tau f_j \quad (17)$$

利用(17), 并对初边值条件进行处理, 有

$$\begin{cases} -ru_{j-1}^{k+1} + (1 + 2r)u_j^{k+1} - ru_{j+1}^{k+1} = u_j^k + \tau f_j, j = 1, \dots, N-1; k = 0, \dots, M-1 \\ u_j^0 = u(x_j, 0) = \phi(x_j), j = 1, \dots, N-1 \\ u_0^k = u(0, t_k) = 0, u_N^k = u(l, t_k) = 0, k = 0, 1, \dots, M \end{cases} \quad (18)$$

向后差分格式 (17) 的矩阵表示为

$$A_1 U^{k+1} = U^k + \tau F \quad (19)$$

其中

$$A_1 = \begin{bmatrix} 1+2r & -r & & & \\ -r & 1+2r & -r & & \\ & \ddots & \ddots & \ddots & \\ & & -r & 1+2r & -r \\ & & & -r & 1+2r \end{bmatrix}_{(N-1) \times (N-1)}$$

由此可见：

- ① 利用 (18) 可逐层求出差分解分量
- ② 向后差分格式 (18) 是一种隐格式, 即为了求解第  $k+1$  层上的差分解分量, 需求解线性代数方程组 (19). 注意 (19) 的系数矩阵  $A_1$  为三对角阵 (对角占优), 因此可以用“追赶法”进行求解, 其运算复杂度为  $O(N)$ .

引入向后差分算子  $L_h^{(2)}$ , 它满足

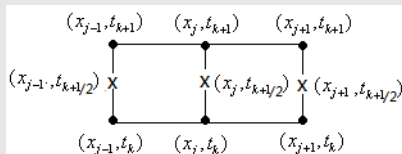
$$L_h^{(2)} u_j^k = \frac{u_j^{k+1} - u_j^k}{\tau} - a \frac{u_{j+1}^{k+1} - 2u_j^{k+1} + u_{j-1}^{k+1}}{h^2}$$

可以证明向后差分格式 (17) 的截断误差为

$$R_j^k(u) = O(\tau + h^2).$$

### (三) 六点对称格式 (Crank-Nicholson格式)

对当前层上的任意内节点  $(x_j, t_{k+1})$ , 其模板点为



对  $(x_j, t_{k+1/2})$  处的微分方程

$$\frac{\partial u}{\partial t}\bigg|_{(x_j, t_{k+1/2})} = a \frac{\partial^2 u}{\partial x^2}\bigg|_{(x_j, t_{k+1/2})} + f(x_j) \quad (20)$$

采用直接差分方法进行近似.

对 (20) 中的偏导数用差商近似:

$$\frac{\partial u(x_j, t_{k+1/2})}{\partial t} \approx \frac{u(x_j, t_{k+1}) - u(x_j, t_k)}{\tau} \quad (\text{一阶中心差商}) \quad (21)$$

$$\frac{\partial^2 u(x_j, t_{k+1/2})}{\partial x^2} \approx \frac{u(x_{j+1}, t_{k+1/2}) - 2u(x_j, t_{k+1/2}) + u(x_{j-1}, t_{k+1/2})}{h^2}$$

由此并利用

$$u(x_{j+m}, t_{k+1/2}) \approx \frac{u(x_{j+m}, t_k) + u(x_{j+m}, t_{k+1})}{2}, \quad m = 0, \pm 1$$

可得

$$\frac{\partial^2 u(x_j, t_{k+1/2})}{\partial x^2} \approx \frac{1}{2} \left[ \frac{u_{j+1}^{k+1} - 2u_j^{k+1} + u_{j-1}^{k+1}}{h^2} + \frac{u_{j+1}^k - 2u_j^k + u_{j-1}^k}{h^2} \right] \quad (22)$$

将 (21) 和 (22) 代入 (20), 则可得关于  $(x_j, t_{k+1})$  的六点对称格式,

$$\frac{u_j^{k+1} - u_j^k}{\tau} = \frac{a}{2} \left[ \frac{u_{j+1}^{k+1} - 2u_j^{k+1} + u_{j-1}^{k+1}}{h^2} + \frac{u_{j+1}^k - 2u_j^k + u_{j-1}^k}{h^2} \right] + f_j \quad (23)$$

在 (23) 两边同乘  $\tau$ , 整理可得

$$-\frac{r}{2}u_{j-1}^{k+1} + (1+r)u_j^{k+1} - \frac{r}{2}u_{j+1}^{k+1} = \frac{r}{2}u_{j-1}^k + (1-r)u_j^k + \frac{r}{2}u_{j+1}^k + \tau f_j \quad (24)$$



利用(24), 并对初边值条件进行处理, 有

$$\begin{cases} -\frac{r}{2}u_{j-1}^{k+1} + (1+r)u_j^{k+1} - \frac{r}{2}u_{j+1}^{k+1} = \frac{r}{2}u_{j-1}^k + (1-r)u_j^k + \frac{r}{2}u_{j+1}^k + \tau f_j \\ \quad j = 1, \dots, N-1; k = 0, \dots, M-1 \\ u_j^0 = u(x_j, 0) = \phi(x_j), j = 1, \dots, N-1 \\ u_0^k = u(0, t_k) = 0, u_N^k = u(l, t_k) = 0, k = 0, 1, \dots, M \end{cases} \quad (25)$$

**注:** 六点对称格式也可通过将向前、向后差分格式 (9) 和 (16) 做算术平均得到.

六点对称格式 (24) 的矩阵表示为

$$A_1 U^{k+1} = A_0 U^k + \tau F \quad (26)$$

其中

$$A_0 = \begin{bmatrix} 1-r & \frac{r}{2} & & & & \\ \frac{r}{2} & 1-r & \frac{r}{2} & & & \\ & \ddots & \ddots & \ddots & & \\ & & \frac{r}{2} & 1-r & \frac{r}{2} & \\ & & & \frac{r}{2} & 1-r & \end{bmatrix}_{(N-1) \times (N-1)}$$

$$A_1 = \begin{bmatrix} 1+r & -\frac{r}{2} & & & & \\ -\frac{r}{2} & 1+r & -\frac{r}{2} & & & \\ & \ddots & \ddots & \ddots & & \\ & & -\frac{r}{2} & 1+r & -\frac{r}{2} & \\ & & & -\frac{r}{2} & 1+r & \end{bmatrix}_{(N-1) \times (N-1)}$$

由此可知:

- ① 利用  $u_j^0$  和边值便可逐层求得  $u_j^k$ .
- ② 六点对称格式 (25) 也是一种隐格式.

引入六点对称差分算子  $L_h^{(3)}$ , 它满足

$$L_h^{(3)} u_j^k = \frac{u_j^{k+1} - u_j^k}{\tau} - \frac{a}{2} \left[ \frac{u_{j+1}^{k+1} - 2u_j^{k+1} + u_{j-1}^{k+1}}{h^2} + \frac{u_{j+1}^k - 2u_j^k + u_{j-1}^k}{h^2} \right]$$

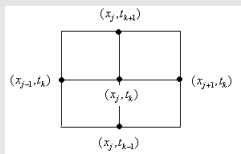
可以证明六点对称格式 (23) 的截断误差为

$$R_j^k(u) = O(\tau^2 + h^2).$$

下面介绍一种三层格式(多步法).

#### (四) Richardson格式

模板点为



对  $(x_j, t_k)$  处的微分方程

$$\frac{\partial u}{\partial t}|_{(x_j, t_k)} = a \frac{\partial^2 u}{\partial x^2}|_{(x_j, t_k)} + f(x_j) \quad (27)$$

采用直接差分方法进行近似.

对 (27) 中的偏导数用差商近似:

$$\frac{\partial u(x_j, t_k)}{\partial t} \approx \frac{u(x_j, t_{k+1}) - u(x_j, t_{k-1}))}{2\tau} \quad (\text{一阶中心差商}) \quad (28)$$

$$\frac{\partial^2 u(x_j, t_k)}{\partial x^2} \approx \frac{u(x_{j+1}, t_k) - 2u(x_j, t_k) + u(x_{j-1}, t_k))}{h^2} \quad (\text{二阶中心差商}) \quad (29)$$

将 (28) 和 (29) 代入 (27), 则有关于  $(x_j, t_{k+1})$  的 Richardson 差分格式,

$$\frac{u_j^{k+1} - u_j^{k-1}}{2\tau} = a \frac{u_{j+1}^k - 2u_j^k + u_{j-1}^k}{h^2} + f_j \quad (30)$$

在 (30) 两边同乘  $\tau$ , 整理可得

$$u_j^{k+1} = 2r(u_{j+1}^k - 2u_j^k + u_{j-1}^k) + u_j^{k-1} + 2\tau f_j \quad (31)$$

利用(31), 并对初边值条件进行处理, 有

$$\begin{cases} u_j^{k+1} = 2r(u_{j+1}^k - 2u_j^k + u_{j-1}^k) + u_j^{k-1} + 2\tau f_j, \\ \quad \quad \quad j = 1, \dots, N-1; k = 0, \dots, M-1 \\ u_j^0 = u(x_j, 0) = \phi(x_j), j = 1, \dots, N-1 \\ u_0^k = u(0, t_k) = 0, u_N^k = u(l, t_k) = 0, k = 0, 1, \dots, M \end{cases} \quad (32)$$

Richardson 差分格式 (31) 的矩阵表示为

$$U^{k+1} = A_1 U^k + U^{k-1} + 2\tau F \quad (33)$$

其中

$$A_1 = \begin{bmatrix} -4r & 2r & & & \\ 2r & -4r & 2r & & \\ & \ddots & \ddots & \ddots & \\ & & 2r & -4r & 2r \\ & & & 2r & -4r \end{bmatrix}_{(N-1) \times (N-1)}$$

由此可见：

- ① 为了使计算能够逐层进行，除初值  $u_j^0$  外，还要用到  $u_j^1$ ，这可以用前面介绍的两层格式计算。
- ② Richardson 差分格式 (32) 是一种显格式。

引入 Richardson 差分算子  $L_h^{(4)}$ ，它满足

$$L_h^{(4)} u_j^k = \frac{u_j^{k+1} - u_j^{k-1}}{2\tau} - a \frac{u_{j+1}^k - 2u_j^k + u_{j-1}^k}{h^2}$$

可以证明 Richardson 差分格式 (30) 的截断误差为

$$R_j^k(u) = O(\tau^2 + h^2).$$



**习题 1** 导出向前（向后）差分格式 (16), 六点对称格式 (23) 及 Richardson 差分格式 (30) 的截断误差.

**习题 2** 将向前差分格式和向后差分格式作加权平均, 得到如下格式:

$$\frac{u_j^{k+1} - u_j^k}{\tau} = \frac{a}{h^2} \left[ \theta \left( u_{j+1}^{k+1} - 2u_j^{k+1} + u_{j-1}^{k+1} \right) + (1 - \theta) \left( u_{j+1}^k - 2u_j^k + u_{j-1}^k \right) \right] \quad (34)$$

其中  $0 \leq \theta \leq 1$ . 试计算截断误差, 并证明当  $\theta = \frac{1}{2} - \frac{1}{12r}$  时, 截断误差的阶最高 ( $O(\tau^2 + h^4)$ ).

**注:** 除了以上四种差分格式外, 还可以作出许多逼近 (5) 的差分格式, 但并不是每一个差分格式都是可用的. 衡量一个差分格式是否经济适用, 主要由以下几个方面的因素决定:

► 计算简单.

显格式 (计算最简单): 向前差分格式, Richardson 差分格式;

隐格式 (若系数矩阵为三对角矩阵, 计算也简单): 向后差分格式, Richardson 差分格式.

► 收敛性和收敛速度.

截断误差阶为  $O(\tau^2 + h^2)$ : 六点对称格式, Richardson 格式;

截断误差阶为  $O(\tau + h^2)$ : 向前差分格式, 向后差分格式.

► 稳定性.

首先考察 Richardson 差分格式是否按初值稳定.

取关于空间变量  $x$  所属区域  $[0, l]$  上的剖分段数  $N = 2M$ , 记差分解序列 (或差分解网函数)  $\{u_j^k\}$ ,  $\{v_j^k\}$  分别满足

$$\begin{cases} u_j^{k+1} = 2r(u_{j+1}^k - 2u_j^k + u_{j-1}^k) + u_j^{k-1} + 2\tau f_j \\ \quad j = 1, \dots, N-1; k = 0, \dots, M-1 \\ u_j^0 = u(x_j, 0) = 0, \quad j = 1, \dots, N-1 \\ u_0^k = u(0, t_k) = 0, \quad u_N^k = u(l, t_k) = 0, \quad k = 0, 1, \dots, M \end{cases}$$

和

$$\begin{cases} v_j^{k+1} = 2r(v_{j+1}^k - 2v_j^k + v_{j-1}^k) + v_j^{k-1} + 2\tau f_j \\ \quad j = 1, \dots, N-1; k = 0, \dots, M-1 \\ v_j^0 = v(x_j, 0) = \delta_{jM}\varepsilon, \quad j = 1, \dots, N-1 \\ v_0^k = v(0, t_k) = 0, \quad v_N^k = v(l, t_k) = 0, \quad k = 0, 1, \dots, M \end{cases}$$

令内节点  $(x_j, t_k)$  处的误差分量  $e_j^k = v_j^k - u_j^k$ , 则误差序列  $\{e_j^k\}$  满足如下差分方程:

$$\begin{cases} e_j^{k+1} = 2r(e_{j+1}^k - 2e_j^k + e_{j-1}^k) + e_j^{k-1} \\ \quad j = 1, \dots, N-1; k = 0, \dots, M-1 \\ e_j^0 = \delta_{jM}\epsilon, \quad j = 1, \dots, N-1 \\ e_0^k = 0, \quad e_N^k = 0, \quad k = 0, 1, \dots, M \end{cases}$$

假设整个计算的过程均是精确的, 且设  $e_j^{-1} = 0$ , 则当  $r = 1/2$  时通过计算可知初始误差的传递情况如下表所示:

$k \backslash j$	$M-3$	$M-2$	$M-1$	$M$	$M+1$	$M+2$	$M+3$
0	0	0	0	$\epsilon$	0	0	0
1	0	0	$\epsilon$	$-2\epsilon$	$\epsilon$	0	0
2	0	$\epsilon$	$-4\epsilon$	$7\epsilon$	$-4\epsilon$	$\epsilon$	0
3	$\epsilon$	$-6\epsilon$	$17\epsilon$	$-24\epsilon$	$17\epsilon$	$-6\epsilon$	$\epsilon$
4	$-8\epsilon$	$31\epsilon$	$-68\epsilon$	$89\epsilon$	$-68\epsilon$	$31\epsilon$	$-8\epsilon$
5	$49\epsilon$	$-144\epsilon$	$273\epsilon$	$388\epsilon$	$273\epsilon$	$-144\epsilon$	$49\epsilon$
6	$-260\epsilon$	$641\epsilon$	$-1096\epsilon$	$1311\epsilon$	$-1096\epsilon$	$641\epsilon$	$-260\epsilon$

从上表可知, 误差随着  $k \rightarrow \infty$  无限增长, 所以该差分格式是不稳定的. 实际上对于任何  $r > 0$  都有类似的现象, 所以该格式是绝对不稳定的.

由此可知, 虽然 Richardson 格式是显格式, 且其截断误差的阶为  $O(\tau^2 + h^2)$ , 但从稳定性方面来看, 它是不可用的.

接下来考察向前差分格式是否稳定

同样取关于空间变量  $x$  所属区域  $[0, l]$  上的剖分段数  $N = 2M$ , 记差分解序列 (或差分解网函数)  $\{u_j^k\}$ ,  $\{v_j^k\}$  分别满足

$$\begin{cases} u_j^{k+1} = ru_{j-1}^k + (1 - 2r)u_j^k + ru_{j+1}^k + \tau f_j, \\ \quad j = 1, \dots, N-1; k = 0, \dots, M-1 \\ u_j^0 = u(x_j, 0) = 0, \quad j = 1, \dots, N-1 \\ u_0^k = u(0, t_k) = 0, \quad u_N^k = u(l, t_k) = 0, \quad k = 0, 1, \dots, M \end{cases}$$

和

$$\begin{cases} v_j^{k+1} = rv_{j-1}^k + (1 - 2r)v_j^k + rv_{j+1}^k + \tau f_j, \\ \quad j = 1, \dots, N-1; k = 0, \dots, M-1 \\ v_j^0 = v(x_j, 0) = \delta_{jM}\varepsilon, \quad j = 1, \dots, N-1 \\ v_0^k = v(0, t_k) = 0, \quad v_N^k = v(l, t_k) = 0, \quad k = 0, 1, \dots, M \end{cases}$$

那么此时误差序列  $\{e_j^k\}$  满足如下差分方程:

$$\begin{cases} e_j^{k+1} = re_{j-1}^k + (1-2r)e_j^k + re_{j+1}^k, & j = 1, \dots, N-1; k = 0, \dots, M-1 \\ e_j^0 = \delta_{jM}\varepsilon, & j = 1, \dots, N-1 \\ e_0^k = 0, e_N^k = 0, & k = 0, 1, \dots, M \end{cases}$$

同样取  $r = 1/2$ , 初始误差的传递情况如下表所示:

$\begin{matrix} j \\ k \end{matrix}$	$M-3$	$M-2$	$M-1$	$M$	$M+1$	$M+2$	$M+3$
0	0	0	0	$\varepsilon$	0	0	0
1	0	0	$0.5\varepsilon$	0	$0.5\varepsilon$	0	0
2	0	$0.25\varepsilon$	0	$0.5\varepsilon$	0	$0.25\varepsilon$	0
3	$0.125\varepsilon$	0	$0.375\varepsilon$	0	$0.375\varepsilon$	0	$0.125\varepsilon$
4	0	$0.25\varepsilon$	0	$0.375\varepsilon$	0	$0.25\varepsilon$	0

由上表可知, 误差逐渐衰减. 因此当  $r = 1/2$  时向前差分格式是可取的.

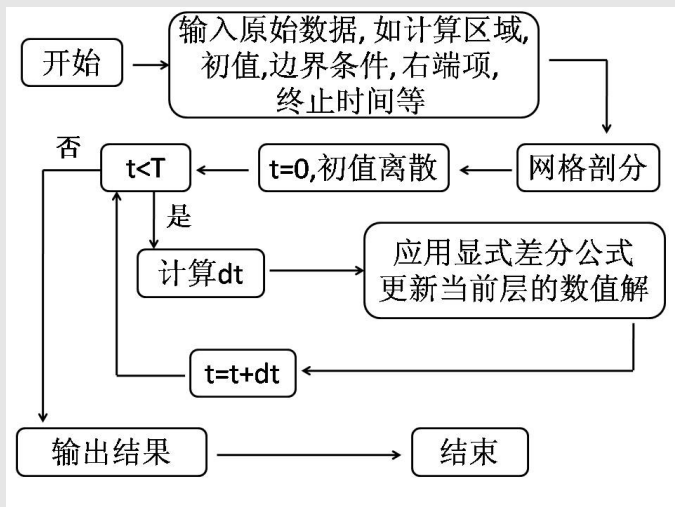


考虑如下热传导问题差分离散的算法实现,

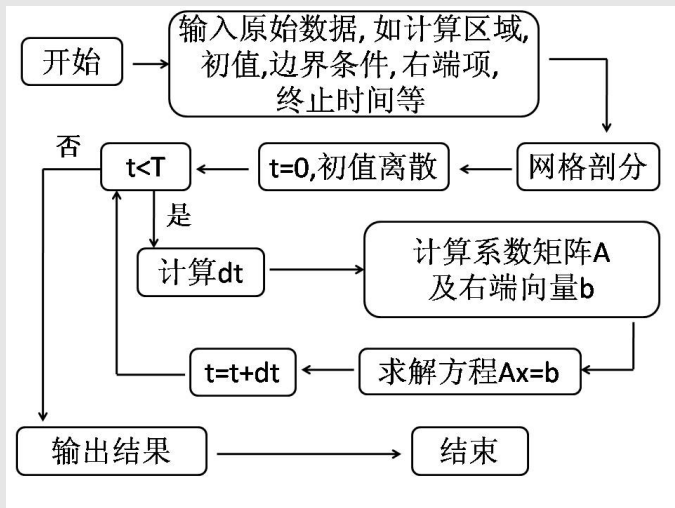
$$\begin{aligned}\frac{\partial u}{\partial t} - a \frac{\partial^2 u}{\partial x^2} &= f(x, t), \\ u(L, t) &= u_L(t), \quad u(R, t) = u_R(t), \\ u(x, 0) &= u_0(x).\end{aligned}$$

首先给出算法的流程, 时间离散方面分别考虑显式、隐式和Crank-Nicolson方法, 然后给出实现算法的Matlab代码。

## 显式算法流程



## 隐式算法流程



# 主测试 matlab 脚本程序

```
%% 一维热传导方程有限差分方法主测试脚本 main_test.m
% 依次测试：
%     向前差分
%     向后差分
%     六点对称格式
% 并可视化数值计算结果。
%
% 作者：魏华祎 <weihuay@xtu.edu.cn>
```

```
pde = model_data(); %模型数据结构体
```

```
% 向前差分格式
```

```
[X,T,U] = heat_equation_fd1d(100,10000,pde,'forward');
showvarysolution(X,T,U); % 以随时间变化方式显示数值解
showsolution(X,T,U); % 以二元函数方式显示数值解
```

```
% 向后差分格式
```

```
[X,T,U] = heat_equation_fd1d(100,100,pde,'backward');
showvarysolution(X,T,U); % 以随时间变化方式显示数值解
showsolution(X,T,U); % 以二元函数方式显示数值解
```

# 主测试 matlab 脚本程序 ||

```
% 六点对称格式, 即 Crank-Nicholson 格式  
[X,T,U] = heat_equation_fd1d(100,100,pde,'crank-nicholson');  
showvarysolution(X,T,U); % 以随时间变化方式显示数值解  
showsolution(X,T,U); % 以二元函数方式显示数值解
```

## 有限差分方法实现

```

function [X,T,U] = heat_equation_fd1d(NS,NT,pde,method)
%% HEAT_EQUATION_FD1D 利用有限差分方法计算一维热传导方程
%
% 输入参数:
%     NS 整型, 空间剖分段数
%     NT 整型, 时间剖分段数
%     pde 结构体, 待求解的微分方程模型的已知数据,
%         如边界、初始、系数和右端项等条件
%     method 字符串, 代表求解所用离散格式
%         F 或 f 或 forward : 向前差分格式
%         B 或 b 或 backward : 向后差分格式
%         CN 或 cn 或 crank-nicholson 或 Crank-Nicholson :
%             -- 六点对称格式( Crank-Nicholson 格式)
%
% 输出参数:
%     X 长度为 NS+1 的列向量, 空间网格剖分
%     T 长度为 NT+1 的行向量, 时间网格剖分
%     U (NS+1)*(NT+1) 矩阵, U(:,i) 表示第 i 个时间层网格部分上的数值解
%
% 作者: 魏华祎 <weihuayi@xtu.edu.cn>

```

# 有限差分方法实现

```
[X,h] = pde.space_grid(NS);
[T,tau] = pde.time_grid(NT);
N = length(X);M = length(T);
r = pde.a()*tau/h/h;
if r >= 0.5 && ismember(method',{'F','f','forward'})
    error('时间空间离散不满足向前差分的稳定条件! ')
end
U = zeros(N,M);
U(:,1) = pde.u_initial(X);
U(1,:) = pde.u_left(T);
U(end,:) = pde.u_right(T);
switch(method)
    case {'F','f','forward'}
        forward();
    case {'B','b','backward'}
        backward();
    case {'CN','cn','crank-nicholson','Crank-Nicholson'}
        crank_nicholson();
    otherwise
        disp(['Sorry, I do not know your ', method]);
end
```

# 有限差分方法实现



%% 向前差分方法

```
function forward()
    d = 1 - 2*ones(N-2,1)*r;
    c = ones(N-3,1)*r;
    A = diag(c,-1) + diag(c,1)+diag(d);
    for i = 2:M
        RHS = tau*pde.f(X,T(i));
        RHS(2) = RHS(2) + r*U(1,i-1);
        RHS(end-1) = RHS(end-1) + r*U(end,i-1);
        U(2:end-1,i)=A*U(2:end-1,i-1)+ RHS(2:end-1);
    end
end
```

%% 向后差分方法

```
function backward()
    d = 1 + 2*ones(N-2,1)*r;
    c = -ones(N-3,1)*r;
    A = diag(c,-1) + diag(c,1)+diag(d);
    for i = 2:M
        RHS = tau*pde.f(X,T(i));
        RHS(2) = RHS(2) + r*U(1,i);
        RHS(end-1) = RHS(end-1) + r*U(end,i);
```



## 有限差分方法实现 IV

```

        U(2:end-1,i)=A\ (U(2:end-1,i-1)+ RHS(2:end-1));
    end
end
%% 六点对称格式, 即 Crank_Nicholson 格式
function crank_nicholson()
    d1 = 1 + ones(N-2,1)*r;
    d2 = 1 - ones(N-2,1)*r;
    c = 0.5*ones(N-3,1)*r;
    A1 = diag(-c,-1) + diag(-c,1)+diag(d1);
    A0 = diag(c,-1) + diag(c,1) + diag(d2);
    for i = 2:M
        RHS = tau*pde.f(X,T(i));
        RHS(2) = RHS(2) + 0.5*r*(U(1,i)+U(1,i-1));
        RHS(end-1) = RHS(end-1) + ...
            0.5*r*(U(end,i)+U(end,i-1));
        U(2:end-1,i)=A1\ (A0*U(2:end-1,i-1)+ RHS(2:end-1));
    end
end
end
end

```

## 可视化 |

```
function showvarysolution(X,T,U)
%%  SHOWVARYSOLUTION  显示数值解随着时间的变化
%
%  输入参数:
%      X 长度为的列向量, 空间网格剖分 $N$ 
%      T 第度为的行向量, 时间网格剖分 $M$ 
%      U  $N*M$  矩阵,  $U(:,i)$  表示第  $i$  个时间层网格部分上的数值解
%
%  作者: 魏华祎 <weihuayi@xtu.edu.cn>

M = size(U,2);
figure
xlabel('X');
ylabel('U');
s = [X(1),X(end),min(min(U)),max(max(U))];
axis(s);
for i = 1:M
    plot(X,U(:,i));
    axis(s);
    pause(0.0001);
end
```

# 可视化 ||

```
    title(['T=', num2str(T(i)), '时刻的温度分布'])
end

function showsolution(X,T,U)
%%  SHOWSOLUTION  以二元函数方式显示数值解
%
%  输入参数:
%      X 长度为的列向量, 空间网格剖分 $N$ 
%      T 第度为的行向量, 时间网格剖分 $M$ 
%      U  $N*M$  矩阵,  $U(:,i)$  表示第  $i$  个时间层网格部分上的数值解
%
%  作者: 魏华祎 <weihuayi@xtu.edu.cn>

[x,t] = meshgrid(X,T);
mesh(x,t,U');
xlabel('X');
ylabel('T');
zlabel('U(X,T)');

end
```

算例 1: 我们利用有限差分法去求解

$$\frac{\partial u}{\partial t} - k \frac{\partial^2 u}{\partial x^2} = 0,$$

$$u(0, t) = 0, \quad u(1, t) = 0, \quad 0 \leq t \leq 0.1$$

$$u(x, 0) = e^{-\frac{(x-0.25)^2}{0.01}} + 0.1 \sin(20\pi x), \quad 0 < x < 1.$$

其中系数  $k = 1$ .

模型数据的 Matlab 实现如下:

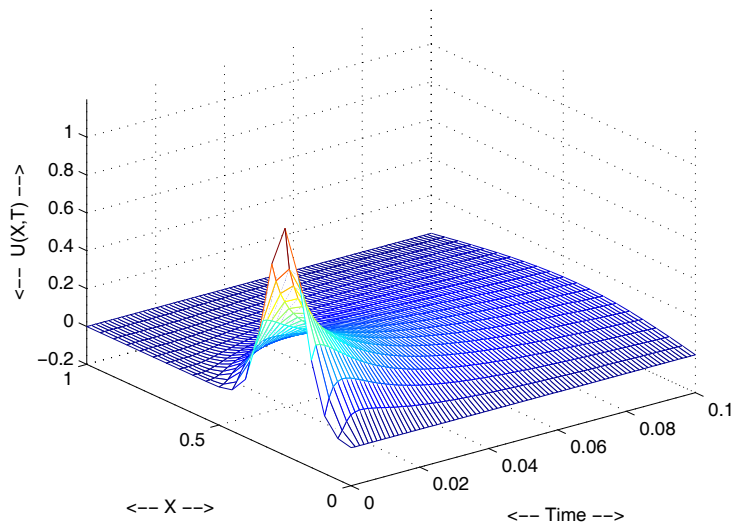
```
function pde = model_data()
% MODEL_DATA 模型数据

pde = struct('u_initial',@u_initial,'u_left',@u_left,...
    'u_right',@u_right,'f',@f,'time_grid',@time_grid,...
    'space_grid',@space_grid,'a',@a);

function [T,tau] = time_grid(NT)
    T = linspace(0,0.1,NT+1);
    tau = 0.1/NT;
```

```
end
function [X,h] = space_grid(NS)
    X = linspace(0,1,NS+1)';
    h = 1/NS;
end
function u = u_initial(x)
    u = exp(-(x-0.025).^2/0.01)+0.1*sin(20*pi*x);
end
function u = u_left(t)
    u = zeros(size(t));
end
function u = u_right(t)
    u = zeros(size(t));
end
function f = f(x,t)
    f = zeros(size(x));
end
function a = a()
    a = 1;
end
end
```

$U(X,T)$  computed by FD1D\_HEAT\_EQUATION\_EXPLICIT



## 上机实验题目

用向前差分求解如下一维热传导方程，并观察最大模误差变化情况：

$$\begin{aligned}\frac{\partial u}{\partial t} - a \frac{\partial^2 u}{\partial x^2} &= f(x, t), \\ u(0, t) &= u_L(t), \quad u(1, t) = u_R(t), \\ u(x, 0) &= u_0(x), \\ x &\in [0, 1], t \in [0, 0.1].\end{aligned}$$

其中  $a = 1$ ；真解为  $u(x, t) = \sin(2\pi x)e^{10t}$   
最大模误差定义如下：

$$E = \max_{x_i, t_j} |u(x_i, t_j) - U(i, j)|$$

## 上机实验题目 ||

即所有网格点处数值解和真解误差绝对值的最大值, 最大模误差  $E$  与时间步长  $\tau$  和空间步长  $h$  满足如下关系:

$$E = o(\tau + h^2)$$

所以, 当  $\tau$  变为  $\frac{\tau}{4}$ ,  $h$  变为  $\frac{h}{2}$  时,  $E$  应变为  $\frac{E}{4}$ .



